

半導体レーザとその応用

大阪大学工学部 北島巖, 山中千代衛*

まえがき

固体レーザ, ガスレーザについて, 1962年秋にカリウム砒素 p-n 接合への電流注入によって発振した半導体レーザ¹⁾は, その後結晶作成, ダイオード作成の技術向上とあいまって, その発光効率が格段に上昇し発光強度も増大した。

さらに1964年には電子ビームによる半導体結晶の直接励起²⁾, 1965年には光励起³⁾の成功があり, p-n 接合を形成できない物質にでもポンピングが可能となって発光波長領域が格段に拡がった。

表1. は現在までに成功している半導体レーザとその励起方法の一覧である。短波長側レーザは電子ビーム励起によってのみ実現されていることに注目したい。将来さらに多くの物質で励起が成功するものと思われる。

一方応用面よりみると, ダイオードレーザに関しては小型軽便であり効率が高く動作が容易なこと, 励起状態の寿命が短かく又連続動作が可能なこと等の利点から, ロケット搭載装置や光スイッチング素子などとして用いられ, 今後オプトエレクトロニクスの分野でますます重要なものと思われる。

1. 半導体レーザの発光機構

半導体結晶の電子エネルギー構造は, 一般に Ge, Si 型と GaAs 型に分けられる。前者は図1a でみるように伝導帯の底部が, 充満帯の頂部と一致しない X 点及び L 点に存在する場合であり, 光学遷移には運動量保存のため音響量子の関与が必要である。これは 2 次過程であるので遷移確率は非常に小さい。後者は図1b でみるように伝導帯の底部と充満帯の頂部が一致している場合であり, P 点に近いところで電子, 正孔の再結合の直接遷移が行われる。発光現象を伴うのはこの直接遷移の場合である。

勿論この場合でもドナー (donor) 及びアクセプター (accepter) としての不純物準位が発光の機構に関与し, band gap のエネルギーに影響して発光波長を変化させ

る。電子と正孔の effective mass が大きく違いつつ伝導帯の複雑さと充満帯の単純さの故に帶内における 1 個の電子と正孔の動きは大きく異なるのである。図2 で示

表1 半導体レーザとその励起方法⁴⁾

材 料	波長 (温度)	励 起 法
ZnS	3245 Å (4.2°K)	E. B(電子ビーム)
	3300 Å (77°K)	"
ZnO	3757 Å (77°K)	"
CdS	4950 Å (77°K)	" , 光
	5280 Å (327°K)	"
ZnTe	5280 Å (12°K)	"
	5330 Å (110°K)	"
CdS _x Se _{1-x}	5000 Å (4.2°K) ~6900 Å (77°K)	" , 光
GaSe	6160 Å	E. B
CdSe	6917 Å (77°K)	"
CdTe	7840 Å (15°K)	"
Ga _{1-x} Al _x As	6400 Å ~8400 Å (77°K)	p-n "
GaAs _{1-x} P _x	6380 Å (77°K) ~9000 Å (300°K)	p-n E.B(7020 Å)
GaAs	8300 Å (77°K) ~8950 Å (300°K)	(p-n, E.B, Avalanche, 光)
InP	9070 Å (77°K)	p-n
In _x P _{1-x} As _{1-x}	1.6 μ (77°K)	"
In _x Ga _{1-x} As	1.77 μ (1.9°K) 2.07 μ	"
GaSb	~1.6 μ (20°K)	p-n, E.B. 光
InAs	3.15 μ (77°K)	p-n, E.B
	3.0 μ (10°K)	光 (GaAs)
Te	3.8 μ (77°K)	E. B
Hg _x Cd _{1-x} Te	3.76 μ ~4.14 μ	光
PbS	4.5 μ (10°K)	p-n E.B(4.2°K)
InSb	5.2 μ (10°K)	p-n E.B, 光(GaAs)
PbTe	6.5 μ (12°K)	p-n E.B 光
PbSe	8.5 μ (12°K)	" " "
PbxSn _{1-x} Se	10.2 μ (77°K)	p-n
PbxSn _{1-x} Te	11~16 μ (12°K)	p-n, 光

* 大阪大学工学部電気科教授

すようにドナー及びアクセプターの不純物濃度を増すと伝導帯および充满帯と不純物準位が重なってくる。すなわちドナーの不純物濃度が大きくなると伝導帯の底と不純物準位が重なり合い、不純物準位の電子が伝導帯に移ることから伝導帯中の Fermi 準位が上昇し電子正孔の

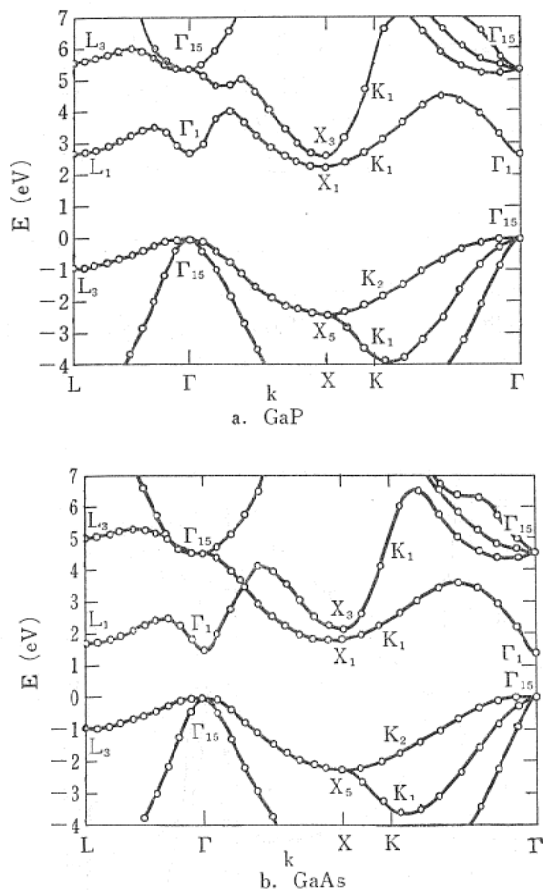
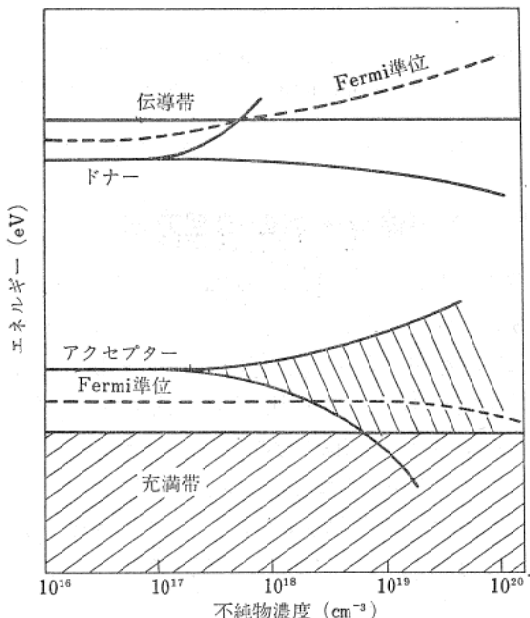
図1 半導体結晶のエネルギー帯構造⁵⁾

図2 不純物濃度による準位の拡がり

再結合発光に対しては、図3にみるように見かけ上 band gap が大きくなるように振舞うので、ドナーの濃度が増すと発光エネルギーは大きくなり波長は短波長側へ移動する。この効果は Burstein shift として説明されているものである。後述するが、電流注入型接合レーザにおいては同様の効果が band filling model として説明されており、注入電流量が大きくなると発光波長は明らかに短波長側へ移動することが観測されている。

他方アクセプター濃度が大きくなるとこれも充满帯の頂とアクセプター準位が重なり合うので、充满帯中の正孔数が増し Fermi 準位が下降する。けれどもこの場合

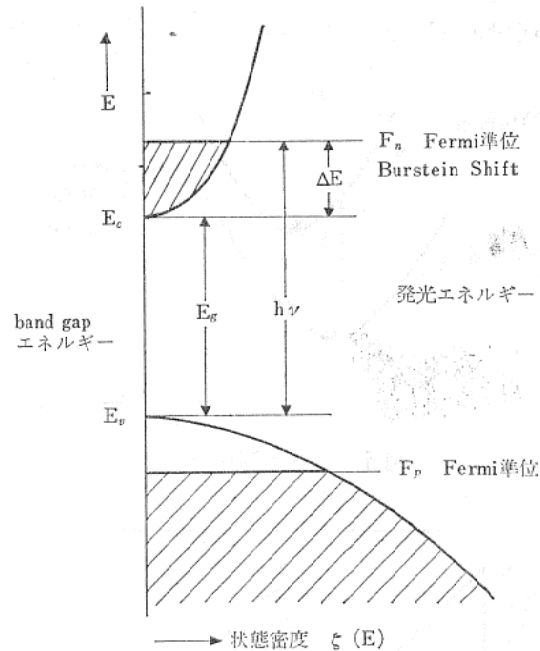


図3 Burstein Shift のエネルギー状態

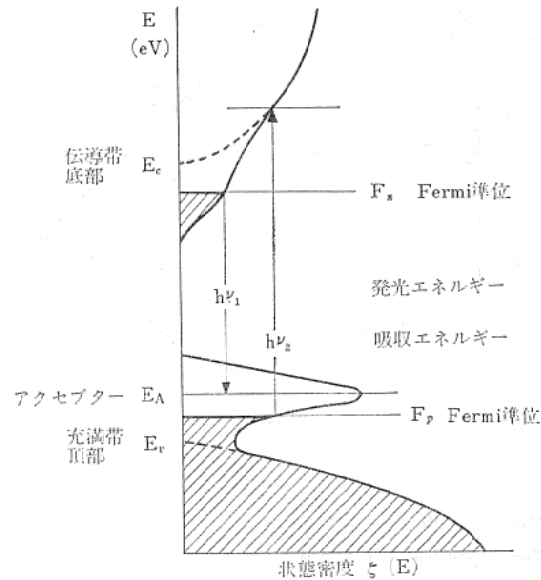


図4 レーザ発光のエネルギー準位状態

は正孔の effective mass が大きいことから Fermi 準位の下降度は小さくむしろ伝導帯へ励起した電子と充满帯中の正孔とが exciton 効果に似た働きを示し band shrinkage を行うので、この場合はアクセプタ濃度が多くなれば電子正孔の再結合発光に対しては見かけ上 band gap が小さくなっているように振舞い、発光エネルギーは小さくなり波長は長波長側へ移動する。この効果は光励起、電子ビーム励起の際に顕著に現われる。

ところで以上は半導体結晶の発光の一般的記述である。図 4 に示すようにこの再結合発光において電子と正孔の平均エネルギー (quasi-Fermi 準位) F_n と F_p との差が放出光量子のエネルギー $h\nu$ より大きいとき、即ち $(F_n - F_p) > h\nu$ のときには誘導放出による再結合が自然放出

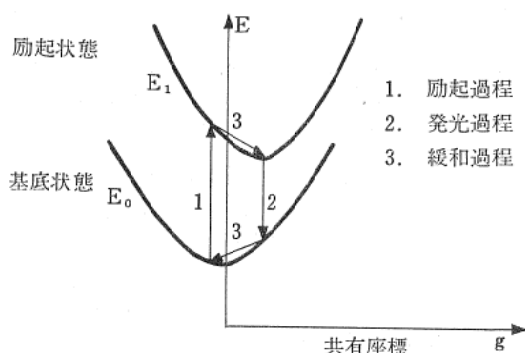
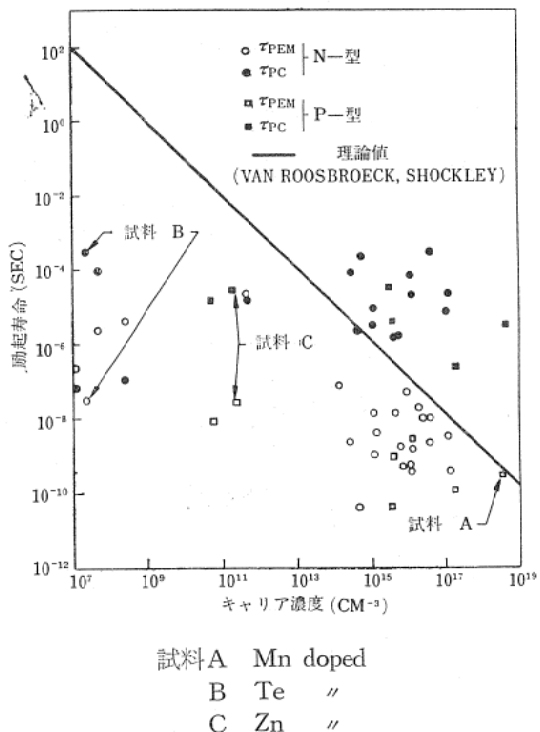
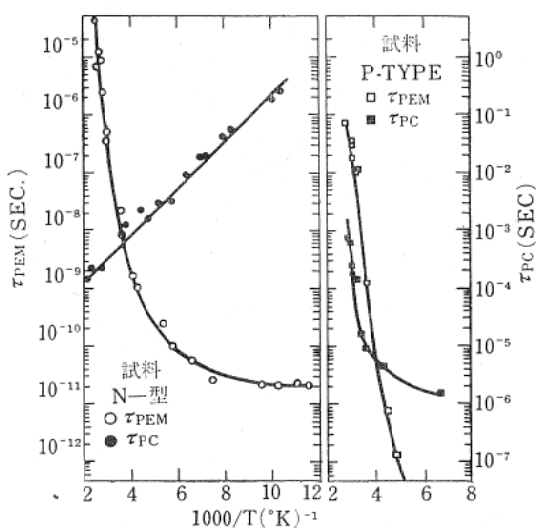


図 5 発光の遷移過程

図 6 GaAs のキャリア濃度による励起寿命⁶⁾

によるそれに打ちかつようになることができる。これが population inversion によるレーザ発振の条件である。この条件は半導体結晶の場合には電流注入によって直接に伝導帯へ多量の電子を詰め込むことができるので容易に実現される。

図 5 は励起と発光の過程を示す。励起状態における緩和時間がレーザのパルス応答性を示すことになる。一般に半導体結晶では励起状態にある電子の寿命は短かく、図 6 に示す如くキャリア濃度が多く不純物準位と伝導帯の底が重なっているときは $10^{-8} \sim 10^{-10}$ sec の速応答性をもっている。これは他の固体レーザ、ガスレーザ、液体レーザでは得られない利点であろう。図 7 は温度によって、励起寿命が変化する様子を示したものである。光電効果 (PC) による値と Photo Electro Magnetic 効果 (PEM) による値が異なっているのは注目すべきことである。



τ_{PEM} photoelectromagnetic 効果の励起寿命
 τ_{PC} photoconductivity の励起寿命

図 7 温度による励起寿命の変化⁶⁾

2. 半導体レーザの励起方法

1. 電流注入励起

図 8 のようなダイオード構造の結晶に電極をつけ、順方向に電流を注入すると接合面にて電子正孔の再結合が起り光が放射される。この接合面で生じた光は接合部の屈折率が n 側及び p 側の屈折率と違うことから、接合面自身が light path となり光は共振器を構成している端面間を往復する。誘導放出による発光利得が結晶内での吸収その他による損失に十分打ち勝つようになればレーザ作用を起す⁷⁾。

ダイオードのエネルギー帯構造を図 9 に示す。外部電界

がかかるっていないときはn側とp側のFermi準位Fが一致して平衡を保っているが、図9bに示すように順方向に電圧Vをかけるとbarrierが縮少しn側の伝導帶上に励起されていた電子はp側の伝導帶上へ侵入してp側の正孔と再結合し発光する。図10に示すように順方向電圧をかけると同時に多量の電子をn側に注入してやればp側に近い接合部においてpopulation inversionの条件が満され誘導放出によるレーザ作用が生じる。レーザ発振に必要な最小電流をthreshold currentといつてJ_{th}

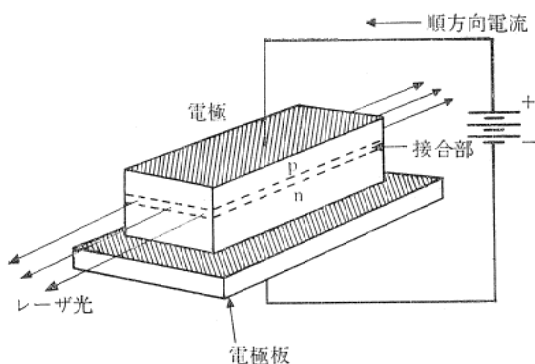


図8 p-n接合レーザの構造

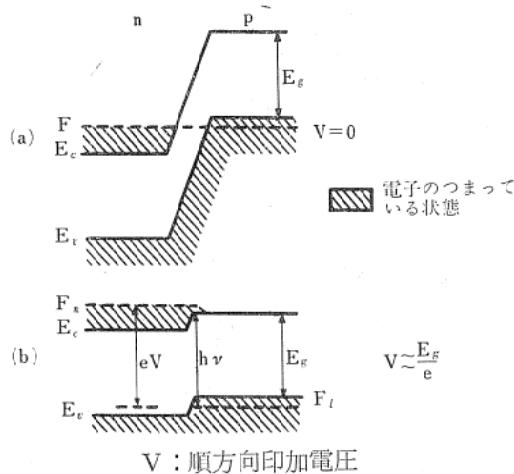


図9 p-n接合のエネルギーダイヤグラム

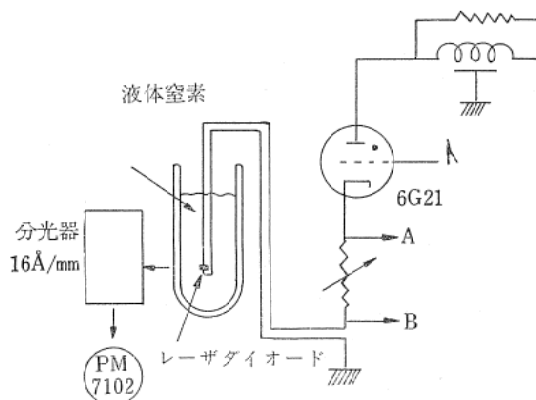
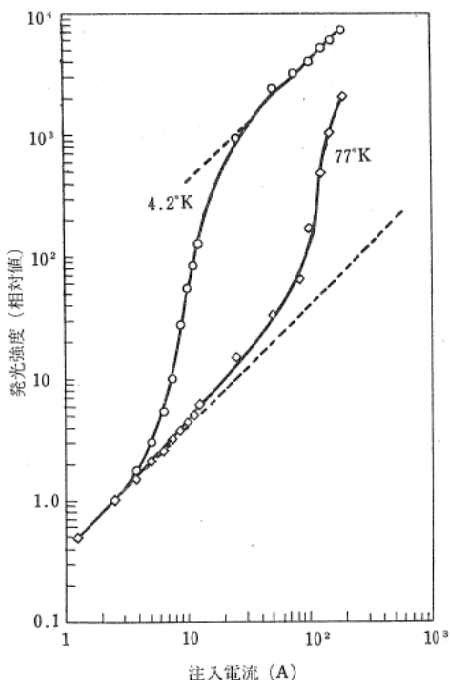
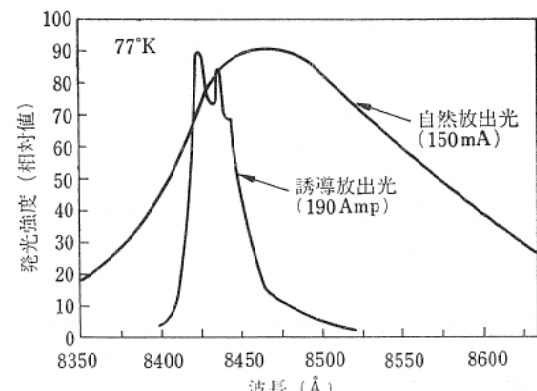


図10 電流注入型レーザの実験回路

で表わす。GaAs p-n接合レーザにおける電流注入量と発光強度の変化を図11に示す。電流値がJ_{th}に達するまでは発光強度も比例して増大するが、J_{th}を越えると発光強度は急に大きくなり、又図12でみるように、スペクトル幅も急減してレーザ発振であることを表わしている。

図13は注入電流量によって発光強度が変化していることを示していると共に、スペクトルピークが高エネルギー側へ移動していることを示している。これは先に述べたband filling効果^{10,11)}のためであり、伝導帯の底がだんだん詰ってきて、quasi Fermi準位が上昇したためと考えられよう。図14には同じく電流注入量による発光エネルギーの変化を示したのであるが不純物の種類によって伝導帯の底に重なっている不純物準位の拡がりの違いが現われていて興味深い。

図15は発光温度と発光エネルギーの関係を示したもの

図11 注入電流量による発光強度の変化⁹⁾図12 発光スペクトルの変化77°K⁹⁾

である。電流注入による温度上昇を考慮して計算した値が破線で示されている。温度が上れば結晶の格子間隔の拡大による結合エネルギーの縮少から帶間エネルギーの減少はこのようにして示される。又温度が上昇すると発光効率は低下し threshold が上がる¹³⁾。

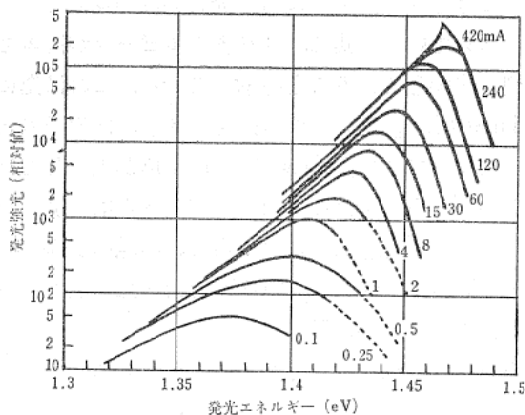


図13 注入電流量の発光スペクトルの変化¹⁰⁾

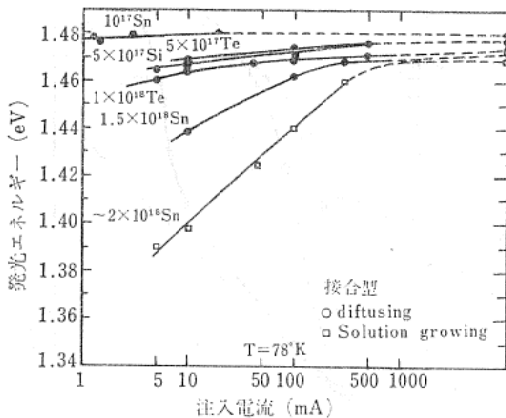
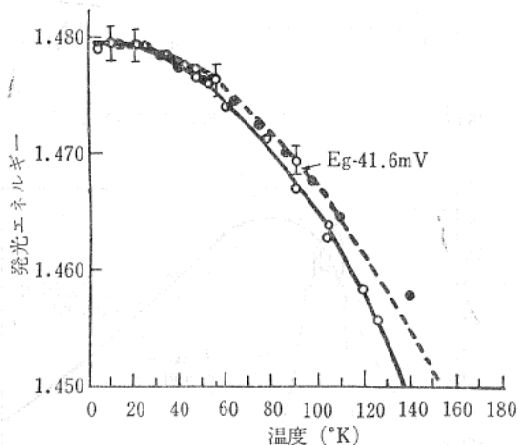


図14 注入電流量による発光エネルギーの変化¹²⁾



- threshold current 上のレーザ発光のエネルギー
 - 電流パルスによる温度上昇を補正した値
- 図15 溫度による発光エネルギーの変化¹³⁾

さて元に戻って考えてみると電流を結晶に注入し発光を観測するのに、以上のようなダイオード構造でなければならないということはない。かなり以前より半導体結晶に針を立てて電流を注入すれば針の先端付近の結晶表面より発光が観測されることが報告されている¹⁴⁾。昔に習うと言おうか最近では、大出力レーザ開発の1つの工夫として、共振器端面をもつ半導体母結晶に単に電極をつけ、大電流を注入して結晶全体が発光する現象(superradiance)¹⁵⁾を観測している。ダイオード構造ではどうしても active region が狭く発光の部分集中とそれによる熱的な端面破壊があり、発光出力の限界がさけられないで、結晶全体を発光させる工夫がなされているわけである。

2. 電子ビーム励起

1964年 Basov ら²⁾によって最初に成功をおさめたこ

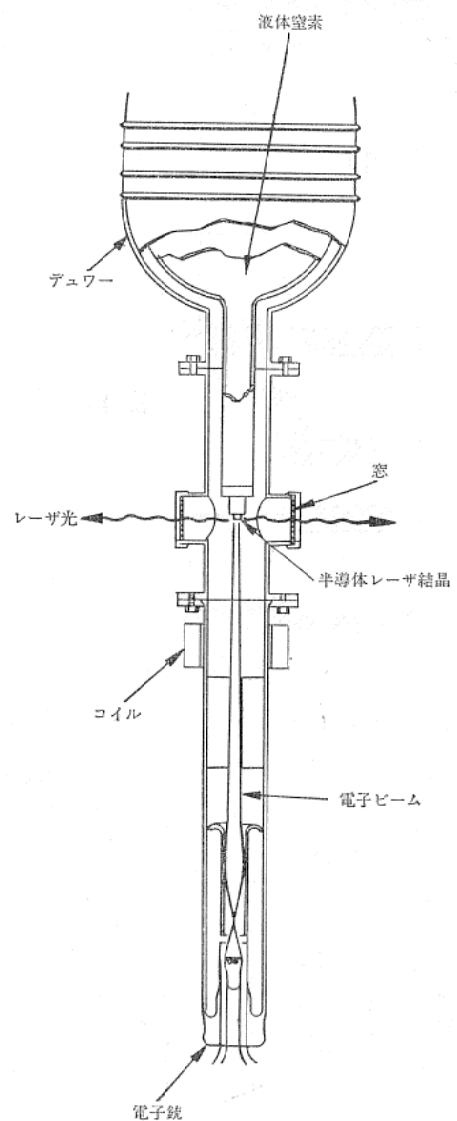


図16 電子ビーム励起による半導体レーザ装置

の励起方法は主に2つの利点がある。先ずダイオードを形成できなくて電流注入型励起の不可能な物質に対しても、ポンピングが可能になったこと、もう一つは電子ビームの入射エネルギーが大きいので、エネルギーギャップの大きな物質にでも直接励起が可能であるということ。即ち半導体レーザとして紫外領域のレーザ光が獲得できるということである。

図16は電子ビーム励起の装置図¹⁶⁾である。結晶の大きさを1mm³として数10keVで数mAのビームが必要である。ただし、半導体のエネルギーと結晶表面の状態によりかなり threshold の値は違ってくるものと思われる。図17は Cusano ら¹⁷⁾による77°Kの GaAs の励起の実験結果である。多重モード発振の様子と不純物濃度によるスペクトルの変化が示されている。

図18は発光機構のところで述べた不純物濃度と発光エネルギーの関係を示したものである。濃度が高くなると Burstein shift 及び band shrinkage の効果が大きく現われてくるのがみられる。

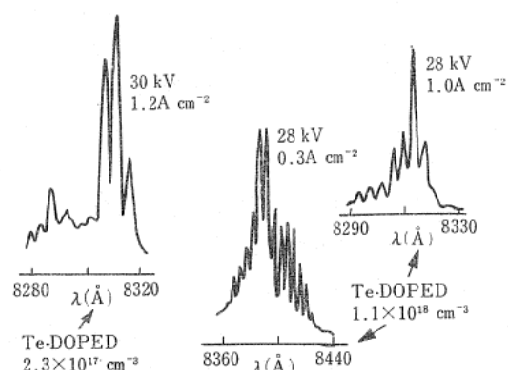


図17 電子ビーム励起によるレーザ発振モードスペクトル¹⁷⁾

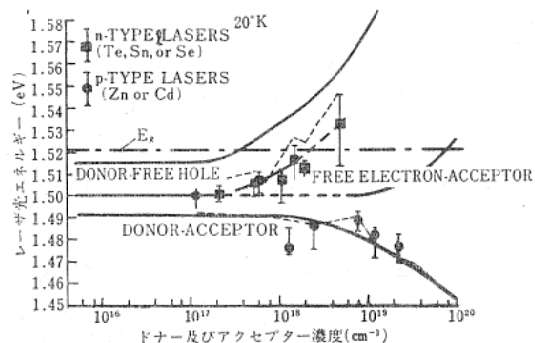


図18 ドナー及びアクセプター濃度によるレーザ発光エネルギーの変化¹⁸⁾

3. 光励起

電子ビーム励起の成功に刺戟されて、レーザ光を用いた半導体結晶のポンピングが1965年に成功した³⁾。この

方法は当初半導体結晶の光学吸収が大きいことから active region の形成が疑問視されていたものであるが、電子ビーム励起の場合と同様にレーザ光の照射面として僻開面を用い、結晶表面に近いところに active region を形成することに成功している。さらに励起光の波長を band edge に近いものをえらんで吸収係数を小さくし active region を大きくすることも可能になっている。

1965年 Phelan ら¹⁹⁾は図19に示すように、GaAs ダイオードレーザを励起光源として用いて InSb 結晶のポンピングに成功した。GaAs からの波長0.84μの光を電流を増すことによって増大させると、図20にみると InSb からの5.3μの発光が急に強く立上がってくるのが観測された。これを分光してみると確かにスペクトル巾が狭くなっているが、レーザ光であることが明らかになった。その後このような手法で GaAs ダイオードレーザ

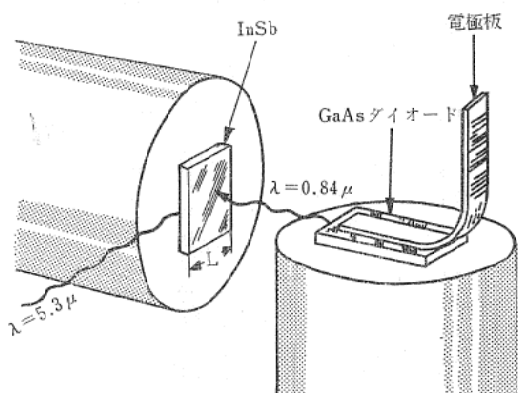


図19 GaAs p-n 接合レーザ光による InSb 結晶のポンピング¹⁹⁾

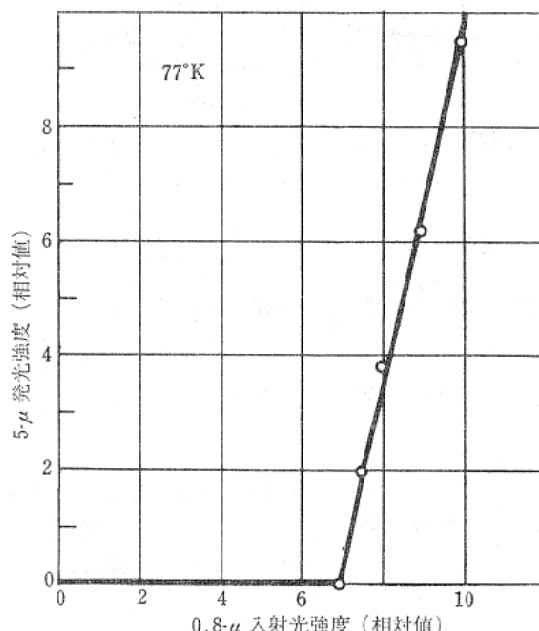


図20 GaAs レーザ光による InSb レーザの発光強度依存性¹⁹⁾

を InAs や PbTe の結晶の光励起の光源として用いてレーザ発振に成功している。

一方ソ連でも Basov らは同じ頃 Qスイッチルビーレーザを用いて 77°K における n型 GaAs 結晶の光励起に成功したことを報じている²⁰⁾。ルビーレーザ光を 3 MW/cm² にまで強めたとき GaAs からの発光強度が増大しスペクトル巾が 20 Å にまで狭くなった。筆者ら²¹⁾の実験室でもその頃別個に光励起レーザの可能性を予測し P型 GaAs 結晶を液体窒素に入れて同様に Qスイッチルビーレーザを用いてレーザ作用に成功した。この場合は液体窒素のルビーレーザ光による Raman 散乱光が吸収端近くの励起光源として働いている可能性もある。実験結果を図21に示す。発光強度の増大と共にスペクトルピークが長波長側へ移動しているのが観測されている。これは先に述べたように多量の電子正孔が生成され、P型結晶に顕著に現われる band shrinkage の効果のためであろうと考えられる。

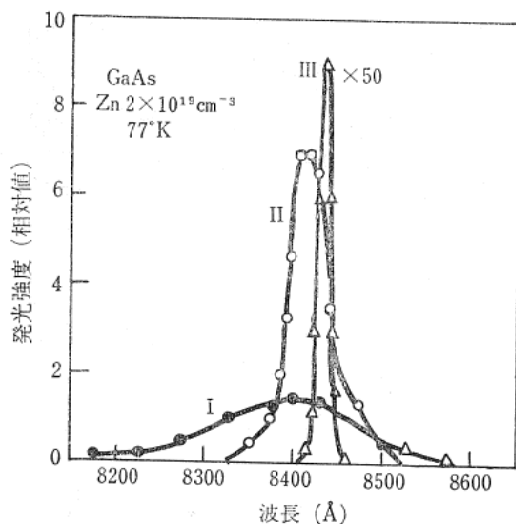


図21 ルビーレーザ光の励起による p-GaAs の発光スペクトルの変化²¹⁾

表2 半導体レーザの励起方法とその特徴

励起方法	最大発光出力	最大発光効率	励起物質	特徴
p-n接合	50W	80%	III-V化合物	小型軽量 動作簡便 連続発振
電子ビーム	1 KW	35%	II-VI化合物	高電圧装置が必要 真空が必要
			III-V化合物	連続動作可
光励起	200KW	50%	II-VI化合物 III-V化合物	2光子励起可 レーザー光源が要 連続動作不可

Basov らは更に Nd ガラスレーザを用いた 2 光子励起によって 5×5×5 mm³ の大きさの GaAs 結晶を励起することに成功し、又ルビーレーザを用いて CdS 結晶の 2 光子励起にも成功したことを報じている。

このような強力なレーザを光源として用いて、半導体結晶に 0.5 mm の厚さの active region を形成できること共に、200 kW に達する発光出力が得られるということは大きな利点である。表2に3つの励起方法の利害得失をまとめて記載する。

3. 半導体レーザの応用

現在一般に言ってレーザそのものの発振特性や発光機構の研究は一段落つきかけており、これからはそれぞれのレーザの特質を生かした応用研究がなされる段階であろう。

半導体レーザも励起方法として3つの可能性が実現されていよいよもって応用面への期待が大きい。接合レーザに関しては当初よりその小型軽便さや連続的動作の可能性から実用面への開発がまたれているが、指向性がやや劣ること、発光出力が比較的小さいことから足踏み状態であった。しかし最近は計測法の発達と結晶作成の技術改良による大出力レーザの開発などから半導体レーザの実用も今一步の段階になったと考えられる。以下各種励起方法による応用面の可能性と筆者らの計画している応用研究の一部を紹介する。

1. ロケット塔載用大気観測装置

電流注入型接合レーザは小型軽量で操作が簡便なことからいろいろの方面への応用が期待されている。特に宇宙研究方面で有用性が大きいと思われる。筆者ら²²⁾は超高层における大気観測装置に半導体レーザを利用しようと試みているのでその概要を述べる。表3に使用した GaAs レーザの特性を示す。

従来は宇宙塵や大気組成の測定は気球やロケットの打ち上げによる直接採集の方法がとられていたが、指向性単色性、出力強度のすぐれたレーザの出現によって散乱光計測によるそれらの測定が始まられつつある。すなわち

表3 GaAs p-n 接合レーザの特性 (77°K)

発光波長	8400 Å
出力	≈ 5 W
ビーム拡がり	5~15°
効率	≈ 30%
応答性	10nsec
温度効果	20 Å/K
電流密度 (J _{th})	1000 A/cm ²

ち、Fiocco らによってルビーレーザ光を地上より射出しその後方散乱から dust の分布を測定する実験が行われたが、半導体レーザをロケットに搭載し、レーザビームの散乱計測により、より直接的に詳細なデータを得る方がすぐれている。

後方散乱によるレーザレーダ方程式は一般に次式で表わされる。

$$\frac{P_s}{P_o} = \frac{KT^2 N \sigma A}{R^2}$$

ここで P_o, P_s はそれぞれ送信受信パワー、 K は受信系効率、 T は大気中の透過率、 A は受信面積、 N は粒子密度 σ は後方微分散乱断面積、 R は受信系から対象までの距離である。 $K=1, T=1, A=100 \pi \text{cm}^2, R=10\text{m}$ とし、 $N\sigma=10^{-12} \text{cm}^{-1} \text{sterad}$ を代入すると $P_s/P_o \sim 10^{-13}$ が得られる。発光出力 100W 程度の半導体レーザを用いると、 $R_s \sim 10^{-11}\text{W}$ となり、光電子増倍管の雑音と同程度になるので、光電子計数計測法を用いて十分測定可能である。夜光は狭帯域干渉フィルターを用いて十分除去できる。

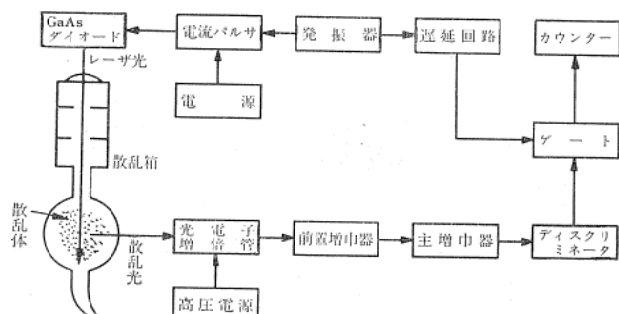


図22 半導体レーザによる粒子の散乱測定

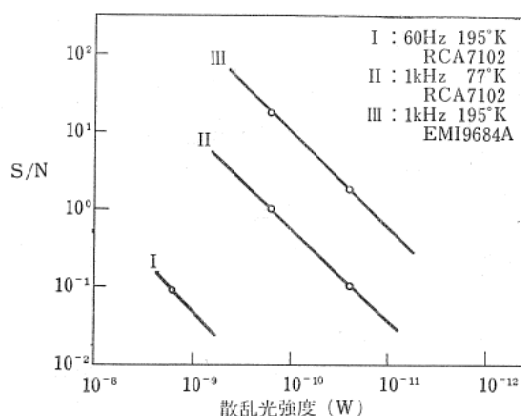


図23 半導体レーザを用いた光電子計数計測による空気の 90° 散乱光測定結果、レーザ光パルス巾 $1\mu\text{sec}$ 、レーザダイオード冷却 77°K 、発振線返し数 60Hz と 1kHz 、光電子増倍管冷却温度 195°K と 77°K

図22は実験室内における大気の 90° 光散乱の測定系統図である。気圧と測定条件をかえて観測した結果を図23に示す。又予め粒径の違っている粒子を使って、散乱光強度より粒径分布を割出す可能性が認められた。

2. Scanatron Laser

電子ビームによる半導体の励起については、電子ビームをブラウン管のように scan させ縦横に配列している半導体結晶を順次励起しようとする提案がある。図24はその模式図である。これによると指向性単色性のすぐれた画面伝送ができるであろう。

図25は radiating mirror といわれる電子ビームとレーザ光の変換装置である。

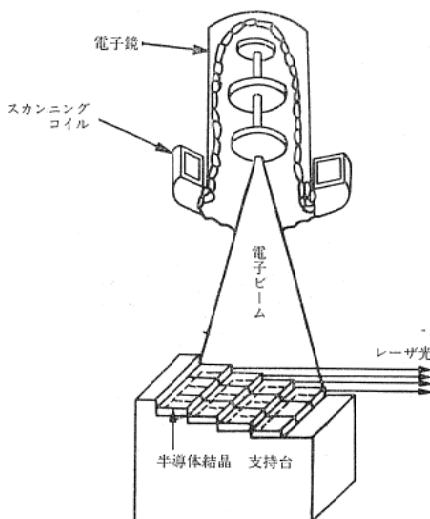


図24 電子ビーム scan による多配列半導体結晶のレーザ発光²³⁾

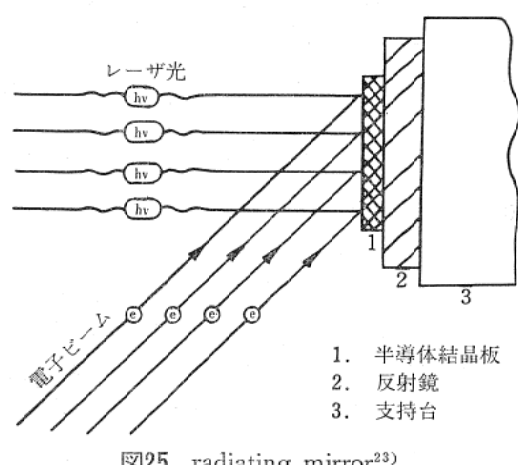
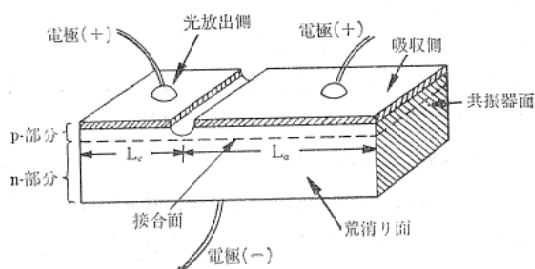
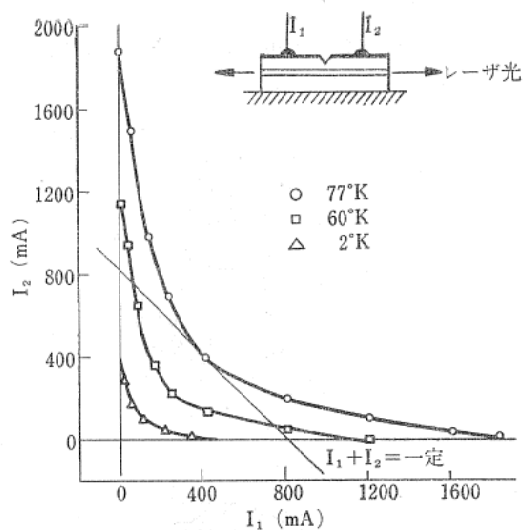


図25 radiating mirror²³⁾

3. Composite Laser

p-n 接合レーザ間の光結合特性は、近接した 2 個のダイオードを同時に発光させて調べられている²⁴⁾。特に直線配列の結合を強めるために図26に示すような結合型レーザが考えられた。この結合レーザ (Composite Laser)

図26 Composite Laser (結合型レーザ)²⁵⁾図27 結合型レーザーの threshold 電流²⁶⁾

は光の結合性を調べる外に接合レーザにおける電流注入の一様性が threshold を下げる働きを調べる上でも重要な意味をもつ、すなわち左右の接合面に一様な密度で電流が注入されるとき最も threshold current が小さくなり得る。故に p-n 接合レーザの効率を上げるために接合面の均一性が重要であることが結論される。この模様を図27に示す。左右の接合面積が等しいときは、各々の電流 I_1 , I_2 が等しいとき $I_1 + I_2$ は最小になり $I_1 = 0$, $I_2 = 0$ のとき或いは $I_1 = 0$, $I_2 \neq 0$ のときは $I_1 + I_2$ が最大になっているのが理解される。さてこの構造のダイオードにおいて、光放出側の電流 I_1 を 0 とし、吸収側の電流 I_2 を threshold ぎりぎりに抑えておき、そのような状態において発光側の接合に電流 I_1 を極く少量トリガとして加えるならば $I_1 + I_2$ は threshold を越し、ただちに全接合面がレーザ発光を行なうであろう。光放出側接合部に電流トリガを加える代りに、図28に示すようにもう 1 個の接合レーザ光で光放出側接合面を励起しても同じことである。すなわち外部光が電流によって光放出側の接合面の quasi-Fermi 準位を上げてやれば、吸収側の接合部の電流注入による発光が、光放出側接合面の吸収端の短波長側移動から全接合面を透過することが可

能となり端面間往復による誘導放出によりレーザ発振が成立するわけである。図29はこの結合レーザにおけるトリガ電流とレーザ発光の追随性を示したものである。点線は吸収側接合部に電流が流れていらないときの自然放出光の立上り時間であり、実線は予め吸収側に threshold ぎりぎりの電流が注入されているとき、発光側にトリガ電流を注入したときのレーザ光の立上り時間である。横軸は I_2/I_1 を目盛ってあるがトリガ電流が小さい程発光の応答性は良いことが示されている。

それ故この結合レーザは速応答性のスイッチング素子として用いられることが期待される。又発光側接合部へのトリガ電流により 2 安定動作が可能であろう。

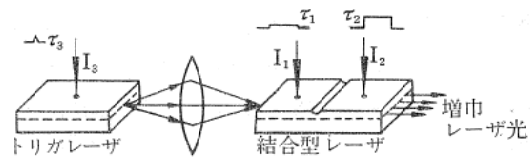
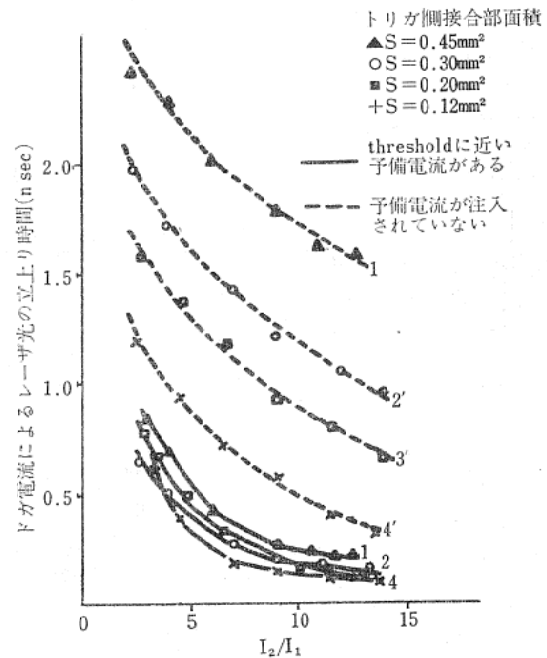


図28 光による結合型レーザの動作

図29 トリガパルスとレーザ発光の時間ずれ²⁷⁾

4. コヒレント・トリガ装置

発光効率が高く且つ動作面で利点の多い p-n 接合レーザを何とか改良して大出力レーザを実現したいというのは実用面からみても当然の要望であろう。そこで先ず簡単に考えつくのが多くのダイオードレーザを同時に発光させることである。ここで時間的厳密さを考慮すれば、図30にみるように、トリガ用レーザ光により多くのレーザが同時に動作することがレーザのコヒレント性からみ